

岩盤せん断試験における破壊面の性状とせん断強さの関連に関する考察

埼玉大学 理工学部 ○吉中龍之進
埼玉大学 理工学部 小野寺 達

まえがき

岩盤のせん断強さは、岩盤中に含まれる各種の地質的分離面の影響をうけるため岩盤を構成する岩石物質のせん断強さとは非常に異なる、たるものであることは良く知られている。その故に岩盤のせん断強さの評価は現地での岩盤せん断試験に基づいて行なわれる。しかし分離面の介在、進行性破壊などとの問題の解説はつれていくつかの優れた試みがあるが、現場実測値と合わせて説明するに至っていない。本文は花崗岩の岩盤についてなされた一連の現地せん断試験(Block Shear Test)の結果を用いてそのせん断強さなどの要因に基づいて①せん断面の凸凹性(図1, a), ②せん断面の構成(図1, b) および各構成部分のせん断特性を考慮して解析したものである。

本解析は用いた岩盤の一軸圧縮強さが約1500 kg/cm²の新鮮なものから風化が著しく進歩したマーブル岩までが含まれ、広い強度範囲をカバーしている。また本岩盤試験結果を解析する機会を与えられた本四公団の各位およびアーチの解説に協力した手島道人(現東京都港湾局)以上の各位に厚くお礼申し上げる。

解析資料について

現地せん断試験は3地盤、計24回の試験結果を用いた。ブロックの想定せん断面積は60×60 cmで荷重は鉛直と水平のうち15°の角度から加えられた。

各試験ブロックの岩盤の物理的性質はつきのようにして求めた。各坑の底面に沿って実施されたバイロットボーリングのコアについて詳しく述べ、シヨア硬度を求め、ついて同地域の花崗岩についてはこれらの物理性質をインテックスとして室内三軸圧縮試験を行い、各ブロックのせん断特性(C_r , ρ_r)を求めた。分離面については各種の風化段階の試料の人工分離面について室内一面せん断試験を行った。摩擦抵抗角 ϕ_f を求めた。以下これらの詳細は別途報告(4)(5)でそれを参照されたい。

ブロックせん断面の性状は、せん断破壊後の凹凸性およびFig1に示した様な既存分離面かせん断された面積 A_j 、岩石部分の新たにせん断された部分の面積 A_r 、整形のために打設されたコンクリートかせん断された部分の面積 A_c から以下の各値を求めた。

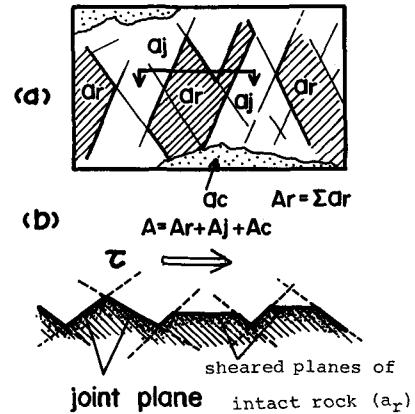


Fig. 1 Schematic representation of sheared surface

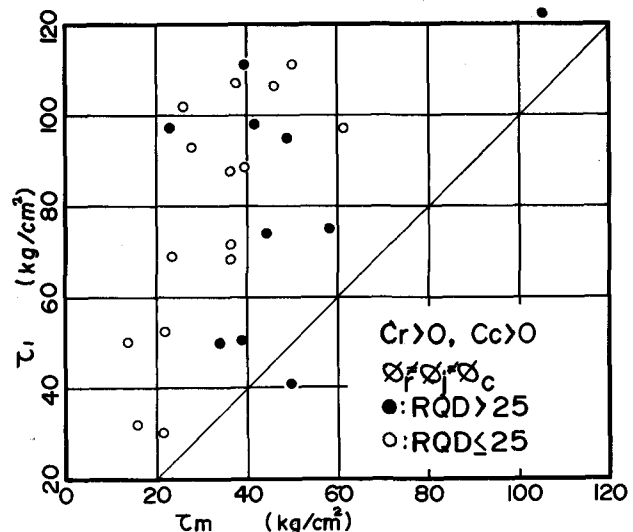


Fig. 2 Correlation between C_m and C_r

(C_m : measured value,

C_r : calculated value)

分離面のせん断面積比 A_j/A 、岩石部分でせん断面積比 A_r/A 、コンクリート部分面積比 A_c 、および A_j 部分の凹凸部平均傾斜角は、全面積 $A = 50$ でせん断後の平均凹凸部傾斜角にてある。

上記のうち A_c は大部分が 10% 以下、 A_j は 0~86%、 ϕ_j は実験結果から風化の程度: 1 関係は $< 30^\circ \sim 45^\circ$ 、コンクリートのせん断特性は 7 日、28 日圧縮強度から推定して。 i_j は $0^\circ \sim 35^\circ$ 、 i_T は $5^\circ \sim 35^\circ$ である。F.

解析方法について

せん断面が凹凸がある場合アーロツクの水平方向にせん断力を受けて変位するとアーロツクは傾斜面 E のり上げて T へ下降して T へすく。いま全面が既往の分離面 T ありその傾斜角をとると、周知のように作用するせん断力とせん断面の摩擦角 μ 、平均直応力 σ_n の間にはつきの関係がある。

$$T = \frac{\sigma_n \tan i + \tau_{R1} \tan \phi_j + \sigma_n \tan \phi_r}{\tau_{R2}} \quad \text{---(1)}$$

ただし $\alpha_r > 0$ 、 $\alpha_c > 0$ とする。(1)式の右辺は T は T_{R3} (岩石部分のせん断力負担分)、 τ_{R4} (同コンクリート部分) が加わって

$$T = \alpha'_r (\tau_{R1} + \tau_{R2}) + \alpha_r (\sigma_n + \sigma_n \tan \phi_r) \quad \text{---(2)}$$

(2)式は $T = C + \sigma_n \cdot \mu \quad \text{---(3)}$ は整理して

$$C = \frac{\alpha_r \sigma_n + \alpha_c \sigma_n}{1 - \alpha_j \tan i \tan \phi_r}, \quad \mu = \frac{\alpha'_j (\tan i + \tan \phi'_j) + \alpha_r \tan \phi_r + \alpha_c \tan \phi_c}{1 - \alpha_j \tan i \tan \phi'_r}$$

したがって上式の係数が正しいとする各アーロツクは T は測定される見掛け上の C、 μ は各アーロツクの α'_j 、 α_r 、 α_c が等しい場合に T のみ同一の値となり T は図上で一本の Coulomb 破壊線上に $a_3 = b = 16$ となる。 $|a| = l$ の条件は非常に成立し難いことは経験的に良く知られてゐる所である。

以下の計算は各アーロツクごとの各係数を(3)式に適用し、そのアーロツクは T は実測されせん断強さ T_m と比較して。はも破断面はアーロツクの凹凸性は決して一様ではない、また全体的に破断面が岩盤中に食入しているもの平面のもと、あるいは上に凸のものなどさまざまであり、したがってあくまで全体のせん断のメカニズムが大局的には(2)式の形式を取るかというかを検討すればあるといえる。

計算結果による考察

(i) 各部分のせん断強さを 100% 期待した場合:

α_j 、 α_r 、 α_c の各部分毎に実測したせん断強さ (ピーク値) がアーロツクが一定量せん断変位して後同時に発生するときを考えるとそれらのせん断強度を(3)式に適用すればよりアーロツクのせん断強さが求まる。図 2 は T_m を実測値 T_m の関係を示したものである。図から明らかなように $T_m > T_m$ で $T_m < T_m$ が過大な T_m とわかる。 $= a =$ は上記の

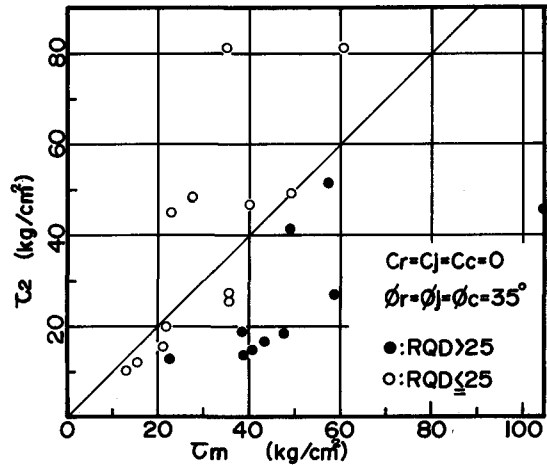


Fig. 3 Correlation between T_m and T_2

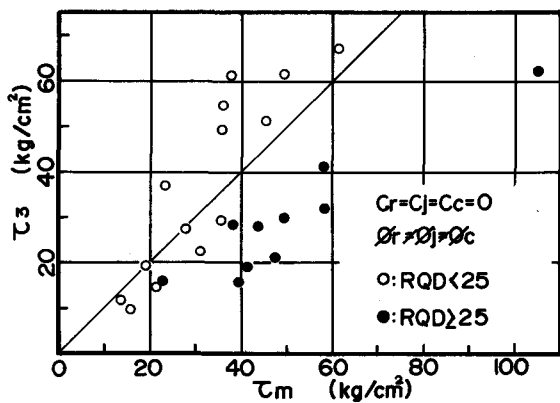


Fig. 4 Correlation between T_m and T_3

仮定がややしも妥当ではあることを示す。事実、ブロックをせん断するに先立つて鉛直荷重のみで最大20~35%増加するブロックに加え3%以上であることはなげた。变形試験から求まる变形係数Dを用いて弾性解によると破断時せん断荷重に対するブロックの水平変位量を求めると破断時の水平変位量は弹性変位量の3~10倍多く動いており、このことからブロックの破断時(最大せん断荷重時)におけるせん断面上の岩盤は大部分が、すべりに近い状態に陥ることを予想して本項の仮定が困難であることを示している。

(ii) 各部分の残留強度に達しているとした場合

つまり各部分のブロックの最大強度時にそれまでのせん断荷重により应力集中を受け破壊した後のすべりの状態にあたとして、 $C_r = C_c = 0$ および $\phi_r = \phi_c = \phi$ と考へ ϕ を均一の 35° として(3)式のとてブロックの全表面について実測した平均角形をもちて計算した値 T_3 と T_m の比較を図3に示してある。 $\phi = 35^\circ$ の他 $30^\circ, 45^\circ$ についても計算したが結果は図3と大差を見られない。 T_3 は図3によると $R Q D < 25$ 以下の岩盤(著しく粗く分離面が入るか、強く風化した岩盤)では $T_3 > T_m$ であり $R Q D > 25$ (多くは $50 \sim 70$) の岩盤では $T_3 < T_m$ である。このことは本仮定が実状に合わないことを示しており特に後者のようには $R Q D$ の高い、即ち岩体の連続性がや、良好な岩盤においては岩石実質部分のせん断強度は未だ残留強度の段階ではないことをうかがえる。

(iii) 各部分の C_r が消失し ϕ は最大強度時の値を保持する場合

岩石実質部分ではブロック全体の最大強度時:

(ii)の場合のように既に强度破壊を越しているが、この時 C_r が消失し ϕ が変わらないとした場合(コンクリート部も同様)である。この仮定は岩石の三軸圧縮試験において供試体の强度破壊の直後に除荷し再び載荷する post-failure の強度特性を求めた実験によって、変位量が大きくなることの状態で成立することがわかつているのでこれを適用したものである。図4はこのようにして(3)式から求めた T_3 と T_m の関係である。全体として $T_3 = T_m$ の線に近いが $R Q D > 25$ のグループでは $T_3 < T_m$ であり主としてA部分の岩盤 C_r が何割かの効果性があることを暗示している。

(iv) 岩石実質部分の強度の有効性

一般にせん断の材料では試験体の寸法が増大するに従って内在するキズの増大により強度が低下することは良く知られている。

試験岩盤における現象があらわすところを図5で検討した。横軸は寸法比として全表面積 A に対する A_f , A_c 部分の面積合計の比を、縦軸は T_m に対する(i)の仮定(A_f 部分は供試体について実測した强度の100%以下)の强度 T_3 の比を示す。図からせん断部分の面積が増すに従って T_m が低下する傾向が読みとられる。横軸が0.5では T_m は期待した强度の30~60%となる。

以上の現象は岩盤の Scale-effect と呼ばれる

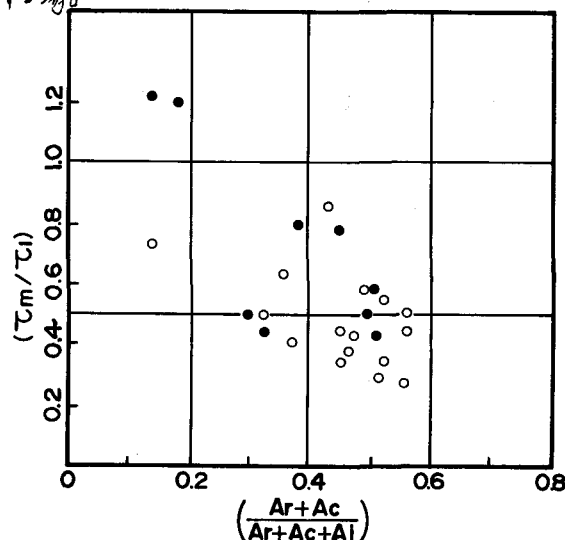


Fig. 5 Diminution of strength on size of intact rock (see Fig. 1)

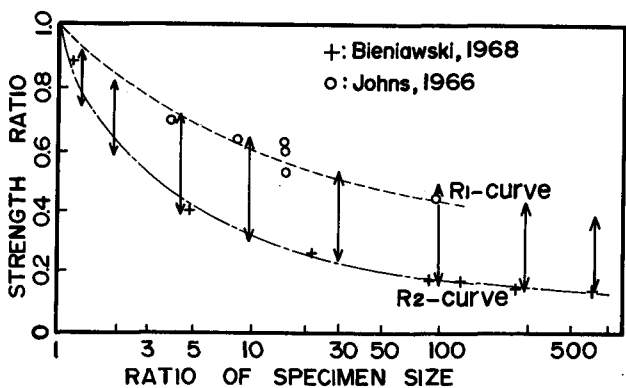


Fig. 6 Scale effect (compiled)

言葉は総括されるものであろう。以下が岩盤のせん断強度と有効圧縮性部分の強度を推定するため従来から各種の地盤材料は、(1)求められた Scale-effect のデータ図(6)を示す。矢印の幅の差異とともに傾向とその範囲である。寸法比は通常の室内強度試験の供試体寸法に対する現場試験の供試体寸法に対する現場試験である。大寸法試験の寸法比である。矢印の範囲内は軟岩相当の粘土地盤に対する一面せん断試験の結果を含んである。上下限界を R_1 (塊状鉄筋石), R_2 (良質石炭) で示した。後者は最大寸法一边 z_m に対する立方体の一軸圧縮強度を含む例である。

(V) C成分と R_1 曲線で低減した場合

A_r, A_c 部分の C 成分と図 6 の R_1 曲線で低減した場合を図 7 に示す。図 4 に比較して $RQD > 25$ 以上の部分は実測値より近いが他の部分はバラツキが少し拡大している。

(VI) RQD を考慮して C 成分で低減した場合 $RQD < 25$ ($0 \sim 10\%$ 多い) の岩盤は岩石実質部分のみでも岩盤全体として micro では macro との分離面の力学的性質の主体と認められる判明⁽⁴⁾である。このような岩盤では $C = 0$ (iii) の式とし、 $RQD > 25$ に対して図 6 の R_1 曲線を適用して(3)式からせん断強度を求めてものが図 8 である。ばらつきは残るが RQD と関係なく全体として T_m と一致しており本項の考え方の大筋はよいと岩盤のせん断強度を説明しているものと考えられる。

あとがき

岩盤のせん断強度は分離面上の通りには ± 3 パーセント以内の効果が重要であることは多くの研究で知られている。本文はこの考え方を立脚して(3)式をもつて実測岩盤せん断強度を説明できることを示した。この際、せん断部分のせん断強度は ± 3 強度の低減が必要であることを述べた。

参考文献

- 林正夫(1965)第3回岩盤力学に関するシンポジウム講演集P.17-21, (2) Dourak(1968) Proc. Geotech. Conf. Oslo P.27, (3) Ladanyi and Archambault(1970) Proc. 11th Sympo. Rock Mech. P.105-125, (4) 小野寺吉中・古田(1973)第4回岩の力学に関するシンポジウム講演集P.12, (5) 吉中・古田(1974)応用地質 Vol.15, 102, (6) 小野寺・吉中・古田(1974)風化花崗岩の工学的性質(1)開発研究報告書(2), (7) 吉中(1974)土と基礎 Vol.22, No.6, p.7.

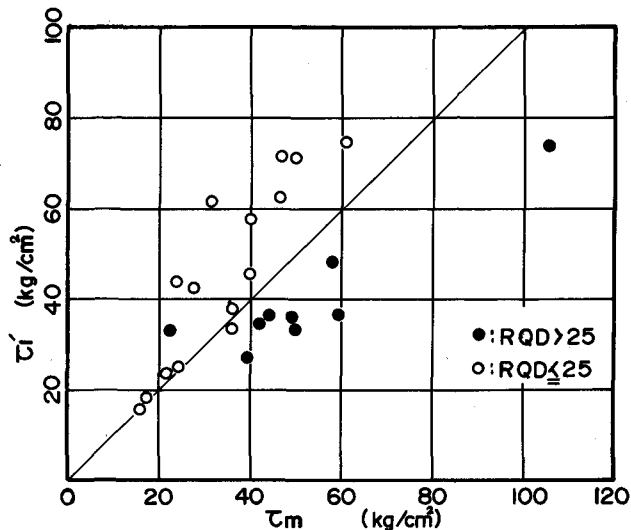


Fig. 7 Correlation between T_m and T_c

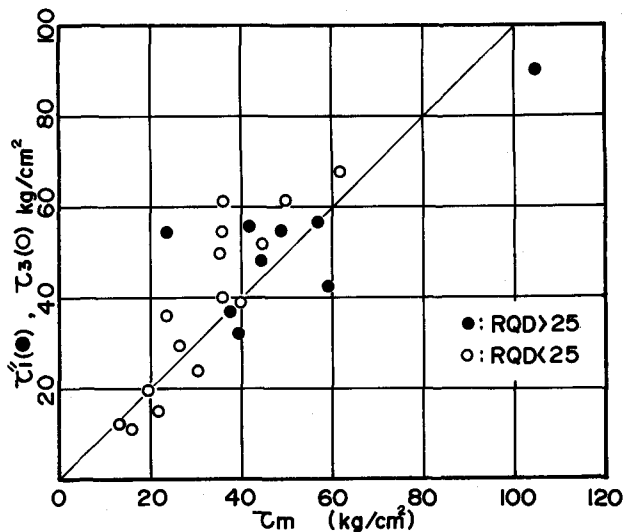


Fig. 8 Correlation between T_m and T_c , T_3

Analytical Consideration in the Shear Strength of in-situ Granite

by Ryunoshin YOSHINAKA, Tōru ONODERA

Department of Foundation Engineering, University of Saitama, Japan

ABSTRACT

In this paper we discuss about the mechanism of generating the shearing strength of rock masses (used in in-situ block shear test) with many joints, i.e., measured values of shearing strength of in-situ rock were compared with the calculated strength considered such factors as the irregularities on sheared surface Fig. 1b, the composition of this plane Fig. 1a (sheared intact rock, pre-existing separations or weaknesses and concrete used to prepare the rock blocks) and the shearing characteristics of each composition.

The equation to estimate the strength of rock masses is as follows: Combining the well-known equation (1) from stress-dilatancy model and intact strength component in Ar and Ac, the strength of rock masses is expressed as

$$\tau = \frac{\alpha a_r c_r + a_c c_c}{1 - a_j \tan i_j \tan \phi_j} + \left[\frac{a_j (\tan i_j + \tan \phi_j) + a_r \tan \phi_r + a_c \tan \phi_c}{1 - a_j \tan i_j \tan \phi_j} \right] \sigma_n$$

The results of analyses are shown in Fig. 2, 3, 4, 7, 8. In conclusion it can be said that the approximate estimation to measured strength is possible from above equation, provided the reduction for cohesive strength c_r on scale effect is suitably carried out by, for example, Fig. 6, RQD, etc.

NOTATION

- A : Base area of a test block
 A_j, A_r, A_c : sheared area of pre-existing joint, intact rock, concrete
 a_j, a_r, a_c : $A_j/A, A_r/A, A_c/A$
 ϕ_j, ϕ_r, ϕ_c : friction angle of joint plane, intact rock, concrete
 c_r, c_c : cohesive strength of intact rock, concrete
 i_j : average inclination angle on irregularities in A_j
 i_T : average inclination angle on total area A
C : apparent cohesive strength from equation (3)

- μ : apparent frictional coefficient from equation (3)
 σ_n : average normal stress on A
 τ_m : measured shear strength in situ
 τ_{1-3} : calculated shear strength from equation (3)
 α : reduction factor for intrinsic cohesion obtained by laboratory shear test
 τ'_1 : calculated strength in case that α is taken by curve R_1 in Fig. 6.
 τ''_1 : calculated strength in case that α is taken by curve R_2 for rocks of $RQD > 25$, and $\alpha = 0$ for rocks of $RQD \leq 25$.